



راهاندازی پانل تشخیصی سنجش بار ویروسی و وضعیت فیزیکی ژنوم ویروس پاپیلومای

Multiplex Real-Time PCR انسانی تیپ ۱۶ به روش

شادی ستایشی^۱، یوسف یحیی‌پور^۲، حسین قربانی^۳، فهیمه نخستین^۴، مقداد باقری^۵، فرزین صادقی^{*۵}

۱- کارشناس ارشد بیوتکنولوژی پزشکی، گروه میکروب‌شناسی و بیوتکنولوژی پزشکی، دانشکده پزشکی، دانشگاه علوم پزشکی و خدمات درمانی بابل، ایران.

۲- استاد ویروس‌شناسی، مرکز تحقیقات بیماری‌های عفونی و گرمسیری، پژوهشکده سلامت، دانشگاه علوم پزشکی و خدمات درمانی بابل، ایران.

۳- استادیار آسیب‌شناسی، گروه آسیب‌شناسی، دانشکده پزشکی، دانشگاه علوم پزشکی و خدمات درمانی بابل، ایران.

۴- استادیار زنان و زایمان، گروه گروه زنان و زایمان، دانشکده پزشکی، دانشگاه علوم پزشکی و خدمات درمانی شهید صدوقی بزد، ایران.

۵- دانشیار ویروس‌شناسی، مرکز تحقیقات بیولوژی سلولی و مولکولی، پژوهشکده سلامت، دانشگاه علوم پزشکی و خدمات درمانی بابل، ایران.

تاریخ دریافت: ۱۴۰۱/۰۴/۳۰، تاریخ پذیرش: ۱۴۰۱/۱۲/۱۴

چکیده

مقدمه: افزایش بار ویروسی در زنان با عفونت مزمن ویروس پاپیلومای انسانی تیپ ۱۶ (*Human Papilloma Virus 16*) و العاق ژنوم ویروس در کروموزم سلولی با افزایش شیوع ضایعات پیش بدخیم/بدخیم در دهانه رحم مرتبط است. در این مطالعه مراحل راهاندازی پانل تشخیصی سنجش بار ویروسی و وضعیت فیزیکی ژنوم *HPV16* بر روی *Multiplex Real-Time PCR* تشریح شده است.

مواد و روش‌ها: در این پژوهش یک ناحیه محافظت شده از ژن‌های E^1 و E^2 ویروس *HPV16* پس از استخراج از رده سلولی *CaSki* و تکثیر با روش *PCR* در پلاسمید باکتریایی *pJET1.2/blunt cloning vector* کلون شده و همراه با پلاسمید نوترکیب حاوی ناحیه محافظت شده از ژن سلولی *RnaseP* به عنوان استاندارد جهت سنجش کمی میزان بار ویروسی به صورت کپی در هر سلول و در نهایت تعیین وضعیت فیزیکی ژنوم ویروس با روش *Multiplex Real-Time PCR* مورد استفاده قرار گرفت.

نتایج: در نتایج *Real Time PCR* شاخص‌های اختصاصی، ضریب R_2 ، شیب و کارایی در محدوده معیارهای پذیرش قرار داشته که نشان می‌دهد ژن‌های E^1 و E^2 ویروس *HPV16* و ژن سلولی *RnaseP* با خطی بودن خوب شناسایی می‌شوند. نتایج نسبت E^2/E^1 در سلول‌های *CaSki* در مطالعه حاضر (E^2/E^1 ratio=0.15) بیانگر حضور ترکیبی از ژنوم‌های اپیزومال و العاق شده (Mixed) در این رده سلولی بود.

نتیجه‌گیری: نتایج به دست آمده در این مطالعه نشان می‌دهد پانل تشخیصی طراحی شده برای سنجش بار ویروسی و وضعیت فیزیکی ژنوم *HPV16* بر روی *Multiplex Real-Time PCR* از خطی بودن، حساسیت و اختصاصیت مناسبی مطابق معیارهای پذیرش از پیش تعیین شده برخوردار بود.

واژه‌های کلیدی: ویروس پاپیلومای انسانی تیپ ۱۶، بار ویروسی، واکنش زنجیره‌ای پلیمراز در زمان واقعی، کلونینگ مولکولی.

^{*}نویسنده مسئول: مازندران، بابل، خیلابن گنج افروز، دانشگاه علوم پزشکی بابل، تلفن: ۰۹۱۹۰۲۱۳۹۶۹، ۰۹۱۹۰۲۱۹۰۱۸۱، نامبر: ۳۲۱۹۰۱۱.

ارجاع: ستایشی شادی، یحیی‌پور یوسف، قربانی حسین، نخستین فهیمه، باقری مقداد، صادقی فرزین. راهاندازی پانل تشخیصی سنجش بار ویروسی و وضعیت فیزیکی ژنوم ویروس پاپیلومای انسانی تیپ ۱۶ به روش *Multiplex Real-Time PCR*. مجله دانش و تدرستی در علوم پایه پزشکی ۱۴۰۲:۱۹:۱۸:۹-۹.

مقدمه

آنکوژن‌های E^6 و E^7 می‌گردد. اخیراً نسبت بار ویروسی θ به E^6 در ۱۶ HPV به عنوان معیاری برای تعیین وضعیت فیزیکی ژنوم ویروس (اپیزومال یا الحقق شده) مطرح شده است. اگر نسبت بار ویروسی θ به E^6 بیشتر از $0/9$ باشد نشان‌دهنده وضعیت اپیزومی بوده (پیش‌آگاهی خوب)، در حالی که اگر این نسبت بین $0/001$ تا $0/9$ باشد بیانگر حضور ترکیبی از ژنوم‌های اپیزومال و الحقق شده است. با میل این مقادیر به سمت صفر، وضعیت فیزیکی ژنوم ویروس به الحقق شده تغییریافته که نشانگر پیش‌آگاهی بد در این بیماران می‌باشد (۱۲). از این رو سنجش دقیق بار ویروسی ۱۶ HPV و تشخیص وضعیت فیزیکی ژنوم در بالین از اهمیت زیادی برخوردار است. در این مطالعه مراحل راهاندازی پانل تشخیصی سنجش بار ویروسی و وضعیت فیزیکی ژنوم HPV16 بر روش Multiplex Real-Time PCR تشریح شده است.

مواد و روش‌ها

این مطالعه از نوع بنیادی-کاربردی بوده و با کد اخلاق IR.MUBABOL.HRI.REC.1398.305 شناسی و بیوتکنولوژی پزشکی دانشگاه علوم پزشکی بابل انجام گرفت. در این پژوهش از رده سلولی CaSki (CRL-1550TM) به عنوان کنترل مثبت HPV16 استفاده شده است. منشأ این سلول‌ها، کارسینوم سرویکس می‌باشد. این سلول‌ها دارای ژنوم HPV16 هستند و هر سلول دارای حدود ۴۰۰ تا ۶۰۰ کپی از ژنوم HPV16 می‌باشد. رده سلولی موردنظر از مرکز ملی ذخایر ژنتیکی و زیستی ایران (IBRC) در فلاسک T25 تهیه شد. این سلول‌ها در محل آزمایشگاه کشت سلول گروه میکروب‌شناسی و بیوتکنولوژی دانشگاه علوم پزشکی بابل تحويل گرفته شده و بلا فاصله پس از تعویض محیط کشت با Fetal Bovine Serum (GIBCO) ۱۶۴۰ به اضافه 10% Penicillin-Streptomycin(GIBCO) و 1% (FBS(GIBCO)) مدت کمتر از ۲۴ ساعتدر انکوباتور 37°C در دمای 37°C سانتیگراد انکوبه شدند. با توجه به سرعت رشد سلول‌ها و رسیدن به تراکم سلولی 80% ، پس از ۴۸ ساعت سلول‌ها جهت استخراج مورد استفاده قرار گرفتند.

برای استخراج DNA از رده سلولی CaSki از کیت Genomic DNA Extraction Mini Kit شرکت سازنده (Favorgen, Taiwan) استفاده شد. به طور خلاصه رده سلولی CaSki با تراکم سلولی 80% ، پس از دو بار شستشو با Phosphate-buffered saline (PBS(GIBCO)) 5ml

سرطان دهانه رحم چهارمین سرطان شایع زنان است (۱)، اما در آمار مربوط به منطقه جغرافیایی ایران، شایعترین بدخیمی دستگاه تناسلی زنان به شمار می‌رود (۲). سرطان دهانه رحم نوعی بدخیمی است که از گردن رحم آغاز می‌گردد. این بیماری به دلیل رشد غیرطبیعی سلول‌های اپیتلیالی پوشاننده سطح داخلی رحم ایجاد می‌شود. عفونت با ویروس پاپیلومای انسانی (HPV) مهمترین عامل مسبب سرطان دهانه رحم محسوب می‌شود. تاکنون بیش از 170 نوع HPV شناخته شده است. بیش از 40 نوع HPV از طریق تماس جنسی منتقل می‌شوند (۳). ویروس‌های پاپیلومای انسانی سلول‌های بازال اپیتلیوم سنگفرشی چندلازی سرویکس را هدف قرار می‌دهند. در این بین دو ژنوتایپ پر خطر 16 و 18 ٪ 70 HPV-18 و 16 ٪ 30 HPV-16 موارد ابتلا را شامل می‌گردند (۱ و ۴). این ژنوتایپ‌ها با انتقال و بقا در سلول‌های اپیتلیال سنگفرشی، خطر نتوپلازی را در لایه‌های اپیتلیوم پوشاننده مجاري تناسلی افزایش می‌دهند (۵ و ۶). در تمام مناطق جهان، HPV16 شایع‌ترین تیپ پر خطر شناسایی شده در سرطان دهانه رحم می‌باشد؛ به طوری که حدوداً در 50 درصد از موارد سرطان دهانه رحم ردیابی می‌شود (۷). با این وجود اکثر عفونت‌های HPV16 به طور خود به خودی بهبودیافته و تنها موارد اندکی به سمت بدخیمی پیشرفت می‌کنند. به همین دلیل تصور می‌شود، عوامل دیگری اعم از فاكتورهای میزانی و فاكتورهای ویروسی در سرطان زایی HPV16 نقش داشته باشند. از فاكتورهای ویروسی موردو توجه، بار ویروسی و وضعیت فیزیکی ژنوم (اپیزومال یا الحقق شده) است. اخیراً مطالعات نشان دادند که افزایش در بار ویروسی HPV16 با افزایش خطر پیشروی به سرطان دهانه رحم مرتبط است (۸). همچنین افزایش بار ویروسی در زنان با عفونت مزمن HPV16، با افزایش شیوع ضایعات پیش بدخیم/بدخیم در دهانه رحم مرتبط است (۹). از طرفی یکی از وقایع مهم عفونت HPV16 که در بروز سرطان نیز نقش مهمی ایفا می‌کند، الحقق ژنوم ویروس به داخل کروموزوم سلولی است. الحقق ژنوم ویروس به داخل کروموزوم سلولی که در اثر نوترکیبی هومولوگ رخ می‌دهد، یک مرحله‌ی کلیدی برای افزایش بیان آنکوژن‌های ویروسی E^6 و E^7 می‌باشد و با شدت ضایعات ارتباط مستقیم دارد (۱۰). الحقق ژنومی تقریباً در تمامی تومورها و رده‌های سلولی آلدہ با HPV-18 رخ می‌دهد، در حالی که در مورد HPV16 این میزان کمتر بوده و حالت اپی زومال ژنوم در تومورهای وابسته به این تیپ نیز مشاهده می‌شود (۱۱). الحقق ژنوم ویروس در کروموزوم سلولی منجر به حذف θ از ژنوم ویروس و متعاقب آن افزایش بیان

منظور از کیت تخلیص محصول PCR به نام kit (Gene All, Korea) طبق دستورالعمل شرکت سازنده استفاده شد این کیت قادر به حذف قطعات کمتر از ۱۰۰ bp می‌باشد.

محصول PCR تخلیص شده مربوط به ناحیه E² و E⁶ ویروس HPV16 با روش Blunt End Cloning و با استفاده از کیت CloneJET™ PCR Cloning Kit pJET1.2/blunt (Thermo Scientific, USA) سازنده (Thermo Scientific, USA) در وکتور (Ligation) با نسبت ۳ به ۱ محصول PCR به وکتور، طبق پروتکل کیت، تهیه باکتری مستند (Competent) E.coli DH5α تهیه شده از از مرکز ملی ذخایر ژنتیکی و زیستی ایران (IBRC) با استفاده از محلول کلرید کلسیم ۰/۱ مولار و ترانسفرم کردن باکتری‌ها با روش شوک حرارتی می‌باشد (۱۵). وکتور pJET1.2/blunt حاوی یک ژن کشنده بوده و در نتیجه الحق صحیح محصول در محل کلونینگ، خاصیت کشنده خود را از دست می‌دهد. از این رو فقط باکتری‌های حاوی پلاسمید نوترکیب قادر به تکثیر بوده و کلئی تشکیل می‌دهند و دیگر نیازی به انجام غربالگری آبی-سفید نمی‌باشد. برای تأیید وجود قطعه موردنظر در وکتور، واکنش مستقیم از کلئی‌های رشد کرده انجام شد که ترکیب اجزاء به کار رفته در واکنش کلونی PCR و برنامه مورد استفاده در ترموسایکلر مطابق جداول ۱ تا ۳ می‌باشد.

از کلئی نمونه‌های دارای کمترین اسمیر و شارپ‌ترین باند برای هر ژن در محیط کشت LB Broth حاوی آمپیسیلین به صورت Overnight کشت داده شد و در نهایت از کلئی‌های به دست آمده GeneAll® ExprepTM Plasmid SV mini طبق دستورالعمل شرکت سازنده صورت گرفت. غلظت و کیفیت DNA استخراج شده با دستگاه نانوراپ سنجیده شده و پس از تأیید کیفیت و غلظت مطلوب جهت تعیین توالی به روش Sanger به شرکت Pishgam Biotech ارسال گردید.

برای رسم منحنی استاندارد در آزمایش Real Time PCR باید از نمونه استاندارد (پلاسمیدهای نوترکیب حاوی ژن‌های مطالعه) رقت سریالی تهیه کرده و برای تمامی رقت‌ها واکنش PCR انجام شود. در این تحقیق از پلاسمید نوترکیب حاوی ناحیه E² و E⁶ ویروس HPV16 استفاده شد. پلاسمید نوترکیب حاوی ناحیه محافظت شده از ژن سلولی RnaseP و پلاسمیدهای نوترکیب حاوی ناحیه E² و E⁶ ویروس Shanghai Gene ray Biotech Co., Ltd سنتز و تأیید گردید.

Trypsin-EDTA(GIBCO) از بستر فلاسک جدا شده و با روش رنگ‌آمیزی تریپاپن بلو، شمارش شد. استخراج DNA بر روی رسوب سلولی حاوی ۳×۱۰^۶ سلول انجام شد (۱۳).

برای به دست آوردن خلوص بالایی از ژن‌های E2 و E6 از mi-Pfu DNA PCR با آنزیم Polymerase (Metabion) که آنزیم اختصاصی جهت فرآیندهای پایین دستی کلونینگ می‌باشد و با پرایمرهای اختصاصی طراح شده توسط تیم پژوهشی و با حجم نهایی میکس برابر ۵۰ میکرولیتر انجام گرفت (جدول ۱). ترکیب اجزا به کار رفته در واکنش PCR و برنامه مورد استفاده در دستگاه ترموسایکلر برای تکثیر ژن‌های E2 و E6 به ترتیب در جدول ۲ و جدول ۳ نمایش داده است. پس از اتمام واکنش، محصولات PCR بروی ژل آگارز ۱/۵ درصد الکتروفورز شدن. پس از الکتروفورز قطعات حاصل از تکثیر ژن‌های E² و E⁶ با رنگ Safe stain و با به کارگیری اشعه ماوراء بنفش مشاهده شدند (۱۴).

جدول ۱- پرایمرهای به کار رفته برای تکثیر ژن‌های E² و E⁶

توالی	نام پرایمر	ژن هدف
HPV16 E2	E2 Forward	5'-CAGTAACCTGGTAGAGGGTCA -3'
	E2 Reverse	5'-CGTCCTTGTGTGAGCTGTT -3'
HPV16 E6	E6 Forward	5'-CGAACCCGGTTAGTATAAAAGCA -3'
	E6 Reverse	5'-GCTGGTTCTACGTGTT -3'

جدول ۲- ترکیب اجزا به کار رفته در واکنش PCR برای ژن‌های E² و E⁶

۱۰X Reaction Buffer with MgCl	۵ µl
dNTP Mix (۲/۵mM each)	۴µl
Forward Primer ۱۰ pmol/µl	۲µl
Reverse Primer ۱۰ pmol/µl	۲µl
mi-Pfu DNA Polymerase (۷/۵µ/µl)	۰/۵µl
Template DNA	۱۰۰ng
PCR Grade H ₂ O	Fill up to ۵۰ µl
۱۰X Reaction Buffer with MgCl	۵ µl

جدول ۳- برنامه مورد استفاده در دستگاه ترموسایکلر برای تکثیر ژن‌های E⁶ و E²

زمان	تعداد سیکل	دما	نام مرحله
۲min/cycle	۱	۹۵°C	Initial Denaturation
۲۰.sec/cycle	۳۰	۹۵°C	Denaturation
۳۰.sec/cycle	۳۰	۵۳/۷۰°C	Annealing
۲min/cycle	۳۰	۷۳°C	Extension
۴min/cycle	۱	۷۳°C	Final Extension

از آنجایی که پرایمراها و پرایمر دایمراهای موجود در محصول در مراحل کلونینگ ایجاد تداخل می‌کنند، محصولات ژن‌های E² و E⁶ باید قبل از کلونینگ به نحوه مؤثری خالص گردد. به این

۶۰	ثانیه
۳۰	
ثانية	

پس از تهیه رقت سریالی ده برابری از پلاسمیدهای نوترکیب حاوی ژن‌های E² و E⁶ ویروس HPV16 واکنش Real Time PCR به صورت مالتی پلکس بر روی رقت‌های پلاسمیدهای نوترکیب با پرایمرهای اختصاصی طراحی شده توسط تیم پژوهشی و در حجم نهایی ۲۵ میکرولیتر انجام گرفت (جدول ۷ و ۸). ترکیب اجزا به کار رفته در واکنش Real Time PCR و برنامه مورد استفاده در دستگاه ترموسایکلر برای تکثیر ژن‌های E² و E⁶ ویروس HPV16 به ترتیب در جدول ۹ و جدول ۱۰ نمایش داده شده است. در نهایت منحنی استاندارد برای ژن‌های E² و E⁶ با استفاده از رقت‌های پلاسمیدی فوق رسم گردید (۱۶).

جدول ۷- پرایمرها و پروب‌های مورد استفاده در واکنش Real Time PCR کمی برای نواحی E² و E⁶

نام پرایمر و پروب	زن هدف	Sequences (۵'-۳')
HPV16-E2	E2 F-Primer	5'-TGAATTATTAGCAGCACTGG-3'
	E2 R-Primer	5'-GTCGTGTTCTCGGTGCC-3'
	E2 Probe	5'-HEX-ATACCAAAGCCGTCGCCCTT-BHQ1-3'
HPV16-E6	E6 F-Primer	5'-GACCCAGAAAGTTACCACAGTTA-3'
	E6 R-Primer	5'-ATTAGAATGTTGTACTGCAAGC-3'
	E6 Probe	5'-FAM-GCACAGAGCTGCAAACACT-BHQ1-3'

جدول ۸- ترکیب اجزاء به کار رفته در واکنش Real Time PCR کمی ژن‌های E² و E⁶ ویروس

مواد	حجم
Taq Man Master Mix 2X	۱۲/۵ μl
Primers & Probe Mix(100pmol/ μl)	۱/۲ μl
Nuclease Free Water	۶/۳ μl
DNA template	ng≈۱۰۰
Total Volume	۲۵ μl

جدول ۹- برنامه مورد استفاده در دستگاه Real Time PCR جهت سنجش کمی ژن‌های E² و E⁶ ویروس

مراحل	(دما °C)	زمان	تکرار
Initial Denaturation	۹۵	۵ دقیقه	۱
Denaturation Annealing/ Extension	۹۵ ۶۰	۱۵ ۳۰ ثانیه	۴۰

در این مطالعه برای سنجش تعداد کپی ژنوم ویروس در هر سلول، از محاسبه تعداد کپی ژن سلولی RNaseP استفاده شد. ژن کدکننده RNaseP به تعداد یک کپی در هر ژنوم هاپلوئید موجود می‌باشد. این ژن کاندیدای خوبی به عنوان کنترل داخلی واکنش PCR بوده و بهدلیل اینکه تعداد کپی آن در هر سلول دیبلوئید انسانی (۲ کپی) مشخص است برای تعیین کمی تعداد سلول‌ها و تخمین تعداد کپی ژن‌های ویروسی در هر سلول انسانی به کار می‌رود. از آنجایی که ژن

برای تهیه رقت سریالی از پلاسمیدهای نوترکیب، تعداد مولکول‌های پلاسمید نوترکیب در هر میکرولیتر براساس دستورالعمل زیر محاسبه شد. ابتدا وزن مولی پلاسمید نوترکیب با استفاده از حاصل ضرب اندازه توالی پلاسمید به اضافه توالی Insert در وزن متوسط هر جفت باز (۶۰ Da) محاسبه گردید. سپس وزن مولکولی پلاسمید نوترکیب با تقسیم وزن مولی به عدد آوغادرو محاسبه شد.

$$\text{Weight in Daltons (g/mol)} = \frac{\text{bp size of plasmid+insert}}{(660\text{Da})} \quad (1-3)$$

$$\frac{(\text{g/mol})}{(\text{Avogadro's number})} = \frac{\text{g}}{\text{molecule}} \quad (3-2)$$

با تعیین غلظت پلاسمید استخراج شده توسط دستگاه نانودرایپ (ng/μl) و تقسیم کردن آن بر وزن مولکولی (g/molecule) تعداد نسخه‌های پلاسمید نوترکیب در واحد حجم محاسبه شد.

$$(3-3)$$

$$\frac{\text{Concentration of plasmid (g/μl)}}{(\text{g}/\text{molecule})} = \frac{\text{molecule}}{\mu\text{l}}$$

پس از تهیه رقت سریالی ده برابری از پلاسمید نوترکیب حاوی ناحیه محافظت شده از ژن سلولی RNaseP واکنش Real Time PCR بر روی رقت‌های پلاسمید نوترکیب با پرایمرهای اختصاصی شرکت تولیدکننده و در حجم نهایی ۲۵ میکرولیتر انجام گرفت (جدول ۴). ترکیب اجزا به کار رفته در واکنش Real Time PCR و برنامه مورد استفاده در دستگاه ترموسایکلر برای تکثیر ژن RNaseP به ترتیب در جدول ۵ و جدول ۶ نمایش داده شده است. در نهایت منحنی استاندارد با استفاده از رقت‌های پلاسمیدی فوق رسم گردید (۱۶).

جدول ۴- توالی پرایمرها و پروب مورد استفاده در واکنش Real Time PCR کمی برای ژن سلولی RNaseP

نام پرایmer و پروب	زن هدف	(۳'-۵') Sequences
Human RNaseP	RNP-F	5'- ATGGCGGTGTTGCAGATTT -3'
	RNP-R	5'- TGTCTCCACAAGTCGCG -3'
	RNP-P	FAM- GGTTCTGACCTGAAGGCTCT -BHQ1

جدول ۵- ترکیب اجزاء به کار رفته در واکنش Real Time PCR کمی ژن RNaseP

مواد	حجم
Taq Man Master Mix 2X	۱۲/۵ μl
Primers & Probe Mix(100pmol/ μl)	۱/۲ μl
Nuclease Free Water	۶/۳ μl
DNA template	ng≈۱۰۰
Total Volume	۲۵ μl

جدول ۶- برنامه مورد استفاده در دستگاه Real Time PCR جهت سنجش کمی ژن سلولی RNaseP

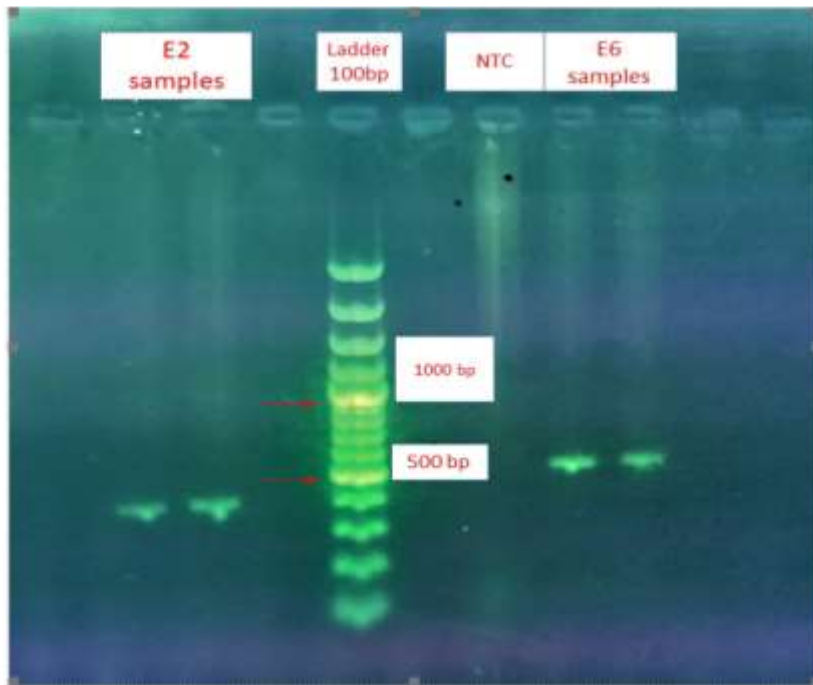
مراحل	(دما °C)	زمان	تکرار
Initial Denaturation	۹۵	۵ دقیقه	۱
Denaturation Annealing/ Extension	۹۵	۱۵ ثانیه	۴۰

نتایج

صحت واکنش PCR نواحی حفاظت شده ژن‌های E² و E⁶ ویروس HPV16 در الکتروفورز محصولات PCR تأیید گردید. باندهای ۳۹۹ و ۵۰۳ جفت بازی در ژل آگارز ۱/۵ درصد مشاهده شد که بهترتیب مبین نواحی E² و E⁶ ویروس می‌باشد (شکل ۱).

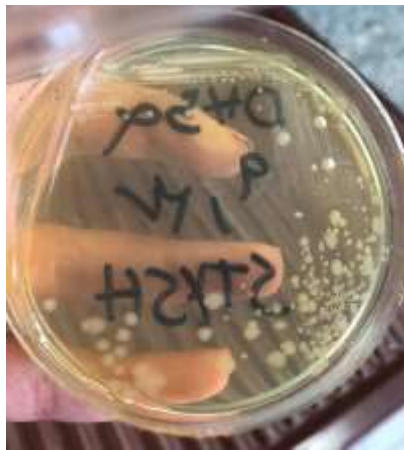
سلولی RNaseP در هر سلول دیپلوبتید انسانی به تعداد ۲ کپی وجود دارد، با تقسیم کدن تعداد کپی ژنوم ویروس HPV16 در هر میکرولیتر به نصف تعداد کپی ژن RNaseP در هر میکرولیتر، تعداد کپی از ژنوم ویروس HPV16 در هر سلول محاسبه شد.

$$\frac{\text{Viral HPV 16 Copies per } \mu\text{l}}{1/2\text{RNase P Copies per } \mu\text{l}} = \text{VIRAL HPV 16 Copies per Cell}$$



شکل ۱- نمای الکتروفورز محصولات PCR نواحی حفاظت شده ژن‌های E2 و E6 در ژل آگارز ۱/۵ درصد

تأثیرگذار نهادهای منفی هیچ سیگنال مثبتی در آزمایش Real-Time PCR ایجاد نکردند.



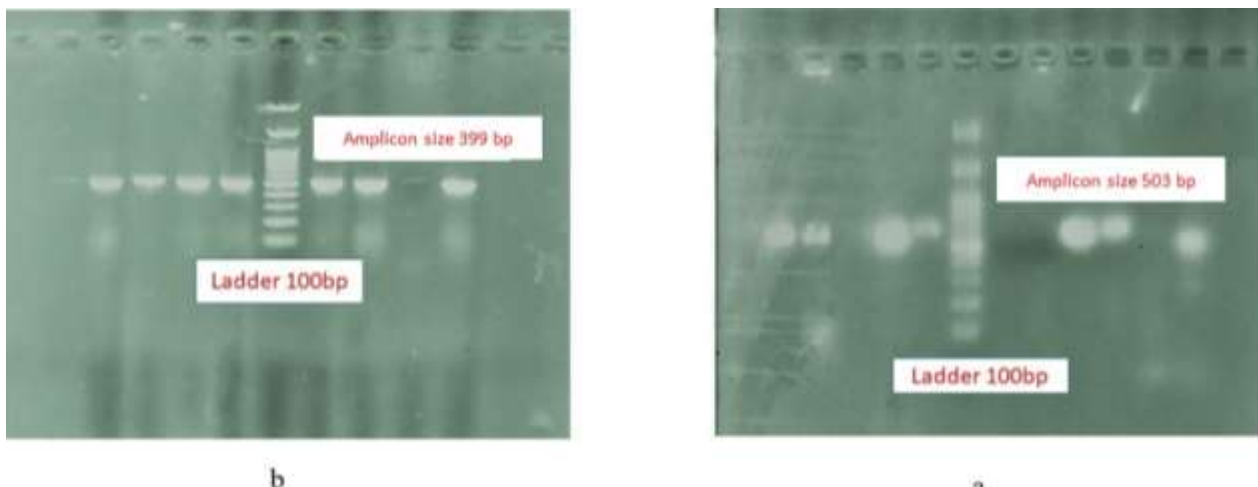
شکل ۲- نمای کلنی باکتری‌های حاوی پلاسمید نوترکیب ناحیه E² و E⁶ خطی بودن (Linearity) آزمایش Real-Time PCR به صورت تجربی با آزمایش رقت سریالی ده برابری پلاسمیدهای نوترکیب

پس از کلونینگ محصول PCR تخلیص شده نواحی E² و E⁶ ویروس HPV16 در باکتری‌های E.coli DH5α، کلنی باکتری‌های نوترکیب جداسازی گردید (شکل ۲). جهت تأیید نتایج حاصل از کلونینگ، کلنی‌های مقاوم به آمپیسیلین با آزمون کلنی MRS بررسی قرار گرفتند. کلنی‌های حاوی ژن E⁶ ویروس دارای باند ۵۰۳ جفت بازی و کلنی‌های حاوی ژن E² دارای باند ۳۹۹ جفت بازی در ژل آگارز ۱/۵ درصد بودند (شکل ۳). در نهایت تأیید نهایی کلونینگ با توالی‌بایی پلاسمیدهای نوترکیب صورت گرفت (شکل ۴).

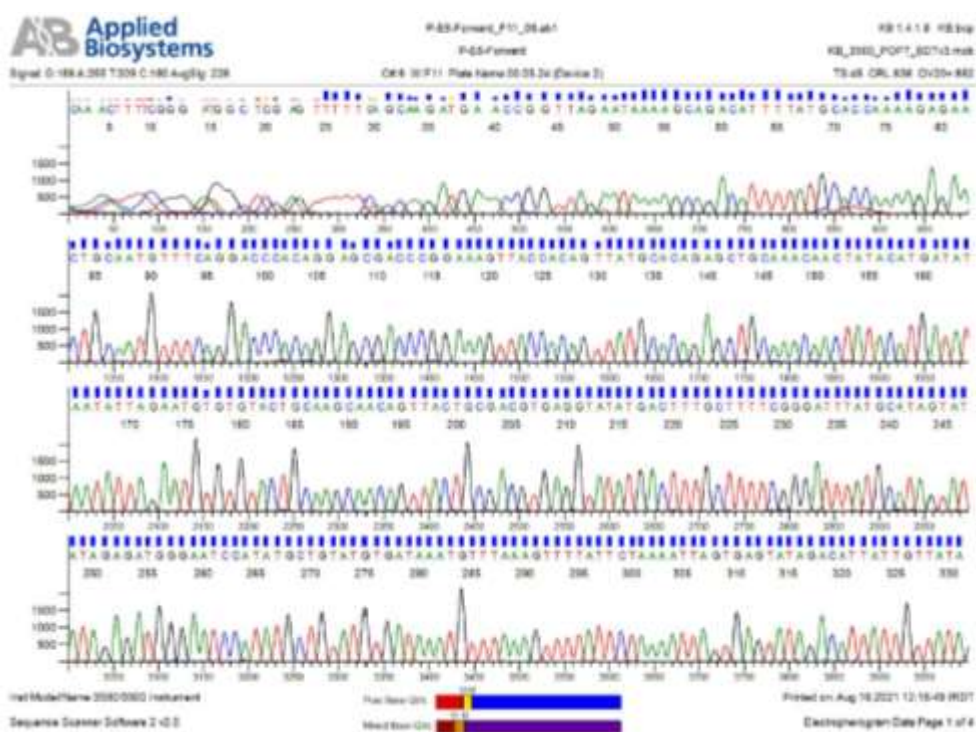
اختصاصیت آزمایش Real-Time PCR حاضر ابتدا به صورت in silico با یافتن نواحی دارای تشابه بین پرایمر و پروب‌ها با استفاده از BLAST (<https://blast.ncbi.nlm.nih.gov>) تعیین شد. نتایج تجزیه و تحلیل BLAST نشان داد که هر جفت پرایمر و پروب به طور اختصاصی ژن‌های E² و E⁶ ویروس HPV16 را بدون هیچ گونه واکنش متقاطع با سایر ژنوتایپ‌های HPV یا سایر پاتوژن‌ها هدف قرار می‌دهند. همچنین اختصاصیت آزمایش با نمونه‌هایی که با روش مرجع جایگزین (Line probe assay) منفی شناخته می‌شوند

در این مطالعه جهت بررسی صحت سنجش وضعیت فیزیکی ژنوم HPV16 با روش Real-Time PCR تعداد کپی ژن‌های E² و E⁶ ویروس HPV16 و ژن سلولی RnaseP در ژنوم استخراج شده از رده سلولی CaSki (رده سلولی کنترل مثبت HPV16) تعیین شد و نسبت E²/E⁶ (E²/E⁶ ratio) تعیین شد و نتایج نشان داد در سلول‌های CaSki نسبت E²/E⁶ برابر ۱/۱۵ است که بیانگر حضور ترکیبی از ژنوم‌های اپیزومال و الحاق شده (Mixed) است.

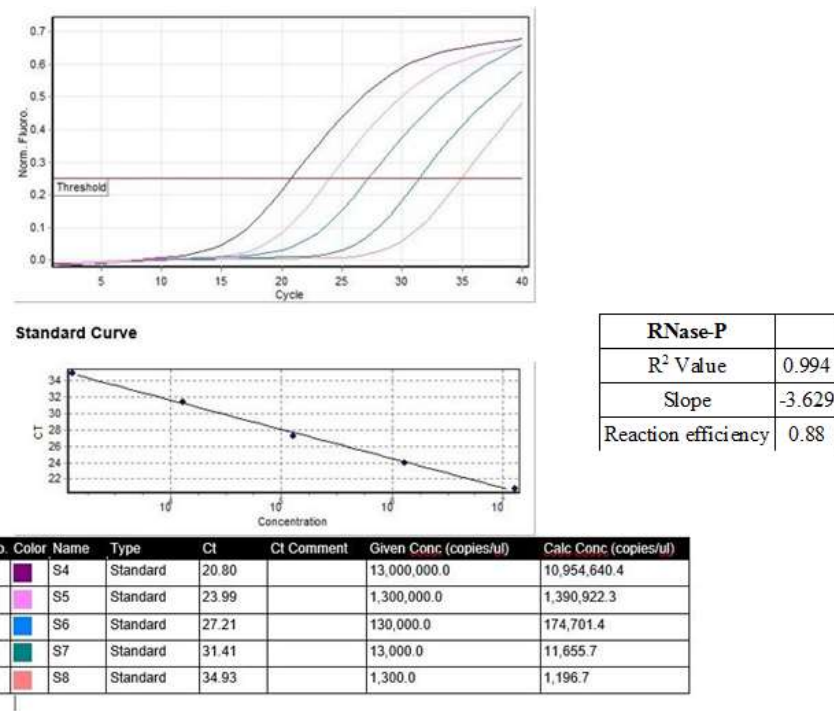
حاوی ژن‌های E² و E⁶ ویروس HPV16 و ژن سلولی RnaseP تعیین شد. سپس یک تحلیل رگرسیونی بر روی داده‌ها برای محاسبه ضریب R²، شیب (Slope) و کارآیی (Efficiency) لازم برای تعیین برازش رگرسیون خطی در مقایسه با معیارهای پذیرش از پیش تعیین شده انجام شد (جدول ۱۰). نتایج نشان داد که تمامی شاخص‌های رگرسیون در معیارهای پذیرش قرار دارند که نشان می‌دهد ژن‌های E² و E⁶ ویروس HPV16 و ژن سلولی RnaseP با خطی بودن خوب شناسایی می‌شوند (اشکال ۵ تا ۷).



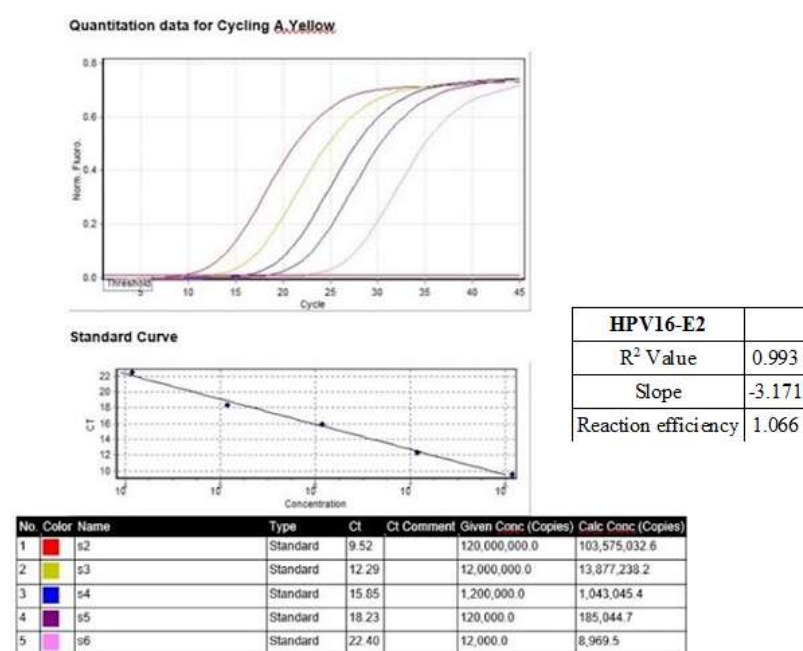
شکل ۳- نمای الکتروفورز محصولات کلی PCR از نمونه‌های کلی باکتری حاوی ژن E⁶ و a) E² b)



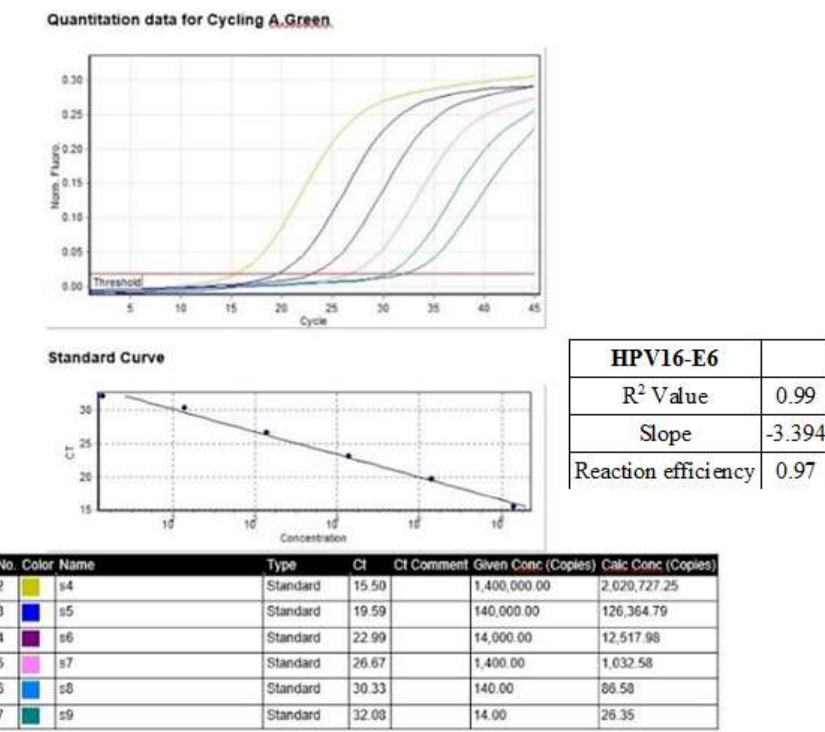
شکل ۴- نمای الکتروگرام تعیین توالی پلاسمیدهای نوترکیب حاوی ژن‌های E² و E⁶ با پرایمرهای forward/reverse 2/1 pJET



شكل ۵- نتایج حاصل از آزمایش Real Time PCR بر روی رقت سریالی ده برابری نمونه استاندارد (پلاسمید نوترکیب حاوی ناحیه محافظت شده ژن سلولی P (Rnase P) و رسم منحنی استاندارد



شكل ۶- نتایج حاصل از آزمایش Real Time PCR بر روی رقت سریالی ده برابری نمونه استاندارد (پلاسمید نوترکیب حاوی ناحیه محافظت شده ژن E² ویروس HPV-16 و رسم منحنی استاندارد



شکل ۷- نتایج حاصل از آزمایش Real Time PCR بر روی رقت سریالی ۵ برابری نمونه استاندارد (پلاسمید نوترکیب حاوی ناحیه محافظت شده ژن E^6 ویروس HPV16 و رسم منحنی استاندارد

شد. ابتدا از گرانول های کلرید کلسیم جهت مستعدسازی استفاده شد که در این روش جمعیتی از باکتری ها از دست رفته و در انتهای میکروتیوب تشکیل رسوب دادند. برای رفع این مانع از پودر کلرید کلسیم آب پوشیده استفاده گردید. از دیگر چالش های کار با این رده باکتریایی کم بودن قابلیت دریافت پلاسمید در بعضی سویه ها بود که با استفاده موازی از سویه های مختلف بهترین سویه برای استفاده مد نظر قرار گرفت. آزمون کلنسی PCR جهت تأیید کلنسی های به دست آمده در هر پلیت برای ژن های E^2 و E^6 انجام شد. بر اساس پرایمرهای طراحی شده، باندهای موردنظر برای ژن های E2 با ۴۰۰ جفت باز و E^6 با ۶۰۰ جفت باز مشاهده گردید. در الکتروفوروز محصول کلنسی ژن E^6 دو نوع باند در اندازه ۵۰۰ جفت باز و کمی بالاتر از ۵۰۰ جفت باز مشاهده گردید. از آنجایی که HPV16 می تواند به صورت واریانت وجود داشته باشد، ممکن است این تفاوت به دلیل وجود واریانت های مختلف HPV16 در ناحیه E^6 باشد (۱۷ و ۱۸). نمونه پلاسمیدهای نوترکیب به دست آمده برای هر دو ژن E^2 و E^6 تعیین توالی شد. در بررسی نتایج حاصله با ابزار NCBI Mega BLAST صحبت پلاسمیدهای کلون شده تأیید گردید.

در مطالعات گذشته، مقادیر بار ویروسی در بررسی ژن های E^2 و E^6 پاییلوما ویروس انسانی تایپ ۱۶ به عنوان شاخصی برای پیش بینی

HPV16-E6	
R ² Value	0.99
Slope	-3.394
Reaction efficiency	0.97

جدول ۱۰- معیارهای پذیرش برای تحلیل خطی آزمایش Real Time PCR

شاخص	معیارهای پذیرش از پیش تعیین شده
R ²	۰.۹۷ ≤ x ≤ ۱.۰
Slope	-۳/۹ ≤ x ≤ -۲/۹
Efficiency (%)	۸۰ ≤ x ≤ ۱۲۰

بحث

در این مطالعه رده سولی CaSki به عنوان کنترل مثبت و الگوی PCR جهت تکثیر نواحی E^2 و E^6 ژنوم ویروس HPV16 مورد استفاده قرار گرفت. پس از تأیید محصول PCR و خالص سازی، نواحی حفاظت شده E^2 و E^6 در pJET1.2/blunt cloning vector موردنظر شدند. در اولین گام برای ساخت وکتور نوترکیب ابتدا نواحی ژن ویروسی موردنظر با آنزیم Taq DNA پلیمراز تکثیر شده و سپس با پروتوكل نواحی چسبنده جهت اتصال به وکتور فوق الذکر مورد استفاده قرار گرفتند. پس از بررسی نتیجه اتصال، نواحی ویروسی موردنظر به وکتور کلونینگ اتصال نیافته بود. به همین جهت از آنزیم DNA پلیمراز با صحت بالا استفاده گردید و با پروتکل mi-pfu انتها صاف اتصال ژن خارجی به پلاسمید با موفقیت انجام گرفت. به طور موازی رده باکتریایی E.coli DH5α جهت مستعدسازی کشت داده شده و با روش کلرید کلسیم آماده دریافت وکتورهای نوترکیب

بررسی وضعیت فیزیکی ژنوم HPV16 از اندازه‌گیری نسبت بار ویروسی ژن E² به E⁶ استفاده می‌گردد. بدین ترتیب که براساس نتایج چندین مطالعه، نمونه‌های با نسبت E² به E⁶ بین ۰/۰۱ تا ۰/۹ دارای وضعیت فیزیکی ترکیب اپیزومال و الحاق شده (Mix)، نمونه‌های با مقادیر E²/E⁶ صفر از نظر فیزیکی دارای وضعیت الحاق شده و مقادیر بزرگتر از ۰/۹ نشان‌دهنده وضعیت ژنومی اپیزومال در نظر گرفته شدند (۸ و ۱۹). نتایج نسبت E²/E⁶ در سلول‌های CaSki در مطالعه حاضر (E2/E6 ratio=0.15) بیانگر حضور ترکیبی از ژنوم‌های اپیزومال و الحاق شده (Mixed) در این رده سلولی می‌باشد که با نتایج سایر مطالعات همخوانی دارد (۲۲ و ۲۳). این همخوانی نشان‌دهنده صحت سنجش وضعیت فیزیکی ژنوم HPV16 با روشن Real-Time PCR در مطالعه حاضر می‌باشد. هرچند خطی بودن، حساسیت و اختصاصیت آزمون Real-Time PCR طراحی شده در این مطالعه در محدوده معیارهای پذیرش از پیش تعیین شده قرار دارد ولی یکی از محدودیت‌های مطالعه حاضر عدم تعیین حساسیت، اختصاصیت و Cut off تشخیصی، آزمون بر روی نمونه‌های بالینی بیماران مبتلا به نتوپلازی داخل اپیتیلیالی و کارسینوم سلول‌های سنگفرشی دهانه رحم می‌باشد. از طرفی ارزیابی شاخص‌های بار ویروسی و وضعیت فیزیکی ژنوم با استفاده از این آزمون در بافت‌های پارافینه و تازه بیماران مبتلا به نتوپلازی داخل اپیتیلیالی و کارسینوم سلول‌های سنگفرشی دهانه رحم پیشنهاد می‌گردد.

در مجموع نتایج بدست آمده در این مطالعه نشان می‌دهد پانل تشخیصی طراحی شده برای سنجش بار ویروسی و وضعیت فیزیکی ژنوم HPV16 بر روشن Multiplex Real-Time PCR بودن، حساسیت و اختصاصیت مناسبی مطابق معیارهای پذیرش از پیش تعیین شده برخوردار بوده و ارزیابی پانل تشخیصی مذکور در نمونه‌های بافتی پارافینه و تازه بیماران مبتلا به نتوپلازی داخل اپیتیلیالی و کارسینوم سلول‌های سنگفرشی دهانه رحم در مطالعات آتی پیشنهاد می‌گردد.

تشکر و قدردانی

نویسندها از زحمات جناب آقای دکتر داود افشار عضو محترم هیأت علمی دانشگاه علوم پزشکی زنجان و همچنین مدیر گروه و کارکنان گروه میکروب‌شناسی و بیوتکنولوژی دانشگاه علوم پزشکی بابل نهایت سپاسگزاری را دارند.

References

- Lee SJ, Yang A, Wu TC, Hung CF. Immunotherapy for human papillomavirus-associated disease and cervical cancer: review of

پیشروی سرطان دهانه رحم مطرح شده است (۸ و ۱۹ و ۲۰). در یکی از مطالعات از یک پلاسمید حاوی ژنوم HPV16 برای اندازه‌گیری بار ویروسی استفاده شده و براساس وجود یا عدم وجود مقادیر بار ویروسی در برسی ژن E²، مقدار بار ویروسی در برسی ژن E⁶ با روش Multiplex Real Time PCR با پروب Taqman محاسبه گردیده است (۸). در دیگر تحقیق صورت گرفته، از دو پلاسمید یکی حاوی ژنوم HPV16 و دیگری تنها حاوی ژن E⁶ استفاده شده و مقادیر بار ویروسی در برسی ژن‌های E² و E⁶ با روشن SYBR Green Real-Time PCR و به طور جداگانه برای هر ژن اندازه‌گیری شده است (۹). یکی از نقاط ضعف دو مطالعه فوق، محاسبه بار ویروسی به صورت غیرطبیعی یا Non-Normalized می‌باشد، به طوری که بار ویروسی نسبت به تعداد سلول‌های مورد مطالعه اندازه‌گیری نشده، که تحلیل بار ویروسی را برای پیش‌بینی میزان پیشروی بیماری دشوار می‌کند. از طرفی استفاده از روشن SYBR Green به دلیل تکثیر غیراختصاصی وجود سیگنال‌های فلورسنت ناشی از تکثیر پرایمر-دایمر روشی مناسب برای تبیین بار ویروسی نمی‌باشد. در برسی صورت گرفته توسط Saunier و همکاران (۲۱) بار ویروسی براساس تعداد کپی ژن‌های E² و E⁶ و طبیعی کردن این مقادیر با ژن آلبومین با روشن Multiplex Real Time PCR و پروب Taqman و pseudogene باشد، از آنجایی که ژن آلبومین می‌تواند دارای استفاده از این ژن برای نرمال کردن بار ویروسی به صورت کپی در هر سلول توصیه نمی‌شود و می‌تواند باعث تحلیل نادرست تعداد کپی نرمال شده ژنوم ویروسی گردد. ژن کدکننده RNase-P در انسان یک Single Copy Gene بوده و به تعداد یک کپی در هر ژنوم هاپلویید موجود می‌باشد. ژن RNase-P، کاندیدای خوبی به عنوان کنترل داخلی واکنش PCR بوده و بدليل اینکه تعداد کپی آن در هر سلول دیپلویید انسانی (۲ کپی) مشخص است، برای تعیین کمی تعداد سلول‌ها در آزمون‌های کمی Real-Time PCR به کار می‌رود. شرکت Applied Biosystems یا ABI شرکت تخصصی Real-Time PCR در جهان محسوب می‌شود از ژن تشریصی RNaseP برای طبیعی کردن آزمون‌های Real Time PCR با روشن RNaseP کمیت سنجی مطلق استفاده می‌کند. یکی از موارد نوآوری مطالعه حاضر نسبت به مطالعات گذشته استفاده از ژن RNaseP برای نرمال کردن داده‌های بار ویروسی ۱۶ HPV می‌باشد.

از آنجایی که الحاق ژنوم HPV16 در کروموزم سلولی منجر به حذف ژن E² از ژنوم ویروس و متعاقب آن افزایش بیان آنکوژن E⁶ می‌گردد. اخیراً نسبت بار ویروسی ژن E² به E⁶ در HPV16 به عنوان معیاری برای تعیین وضعیت فیزیکی ژنوم ویروس (اپیزومال، الحاق شده و ترکیبی) مطرح شده است. براساس مطالعات پیشین جهت

2. Momenimovahed Z, Salehiniya H. Cervical cancer in Iran: integrative insights of epidemiological analysis. *Biomedicine (Taipei)* 2018;8:18. doi: [10.1051/bmdcn/2018080318](https://doi.org/10.1051/bmdcn/2018080318)
3. Burd EM. Human Papillomavirus and Cervical Cancer. *Clin Microbiol Rev* 2003;16:1-17. doi: [10.1128/CMR.16.1.1-17.2003](https://doi.org/10.1128/CMR.16.1.1-17.2003)
4. Yang X, Cheng Y, Li C. The role of TLRs in cervical cancer with HPV infection: a review. *Signal Transduct Target Ther* 2017;2:17055. doi: [10.1038/sigtrans.2017.55](https://doi.org/10.1038/sigtrans.2017.55)
5. Szymonowicz KA, Chen J. Biological and clinical aspects of HPV-related cancers. *Cancer Biol Med* 2020;17:864-78. doi: [10.20892/j.issn.2095-3941.2020.0370](https://doi.org/10.20892/j.issn.2095-3941.2020.0370)
6. Ye H, Song T, Zeng X, Li L, Hou M, Xi M. Association between genital mycoplasmas infection and human papillomavirus infection, abnormal cervical cytopathology, and cervical cancer: a systematic review and meta-analysis. *Arch Gynecol Obstet* 2018;297:1377-87. doi: [10.1007/s00404-018-4733-5](https://doi.org/10.1007/s00404-018-4733-5)
7. Liu C, Mann D, Sinha UK, Kokot NC. The molecular mechanisms of increased radiosensitivity of HPV-positive oropharyngeal squamous cell carcinoma (OPSCC): an extensive review. *J Otolaryngol* 2018;47:59. doi: [10.1186/s40463-018-0302-y](https://doi.org/10.1186/s40463-018-0302-y)
8. Peitsaro P, Johansson B, Syrjänen SJ. Integrated human papillomavirus type 16 is frequently found in cervical cancer precursors as demonstrated by a novel quantitative real-time PCR technique. *J Clin Microbiol* 2002;40:886-91. doi: [10.1128/JCM.40.3.886-891.2002](https://doi.org/10.1128/JCM.40.3.886-891.2002)
9. Cricca M M-LA, Venturoli S, Ambretti S, Gentilomi GA, Gallinella G, et al. Viral DNA load, physical status and E2/E6 ratios as markers to grade HPV16 positive women for high-grade cervical lesions. *Gynecol Oncol* 2007;106:549-57. doi: [10.1016/j.ygyno.2007.05.004](https://doi.org/10.1016/j.ygyno.2007.05.004)
10. Oyervides-Muñoz MA, Pérez-Maya AA, Rodríguez-Gutiérrez HF, Gómez-Macías GS, Fajardo-Ramírez OR, Treviño V, et al. Understanding the HPV integration and its progression to cervical cancer. *Infect Genet Evol* 2018;61:134-44. doi: [10.1016/j.meegid.2018.03.003](https://doi.org/10.1016/j.meegid.2018.03.003)
11. Williams VM, Filippova M, Soto U, Duersken-Hughes PJ. HPV-DNA integration and carcinogenesis: putative roles for inflammation and oxidative stress. *Future Virol* 2011;6:45-57. doi: [10.2217/fvl.10.73](https://doi.org/10.2217/fvl.10.73)
12. Álvarez-Paredes L, Santibáñez M, Galiana A, Rodríguez Díaz JC, Parás-Bravo P, Andrada-Becerra ME, et al. Association of Human Papillomavirus Genotype 16 Viral Variant and Viral Load with Cervical High-grade Intraepithelial Lesions. *Cancer Prev Res (Phila)* 2019;12:547-56. doi: [10.1158/1940-6207.CAPR-18-0397](https://doi.org/10.1158/1940-6207.CAPR-18-0397)
13. Tran SL, Puher A, Ngo-Camus M, Ramarao N. Trypan blue dye enters viable cells incubated with the pore-forming toxin HlyII of *Bacillus cereus*. *PLoS One* 2011;6:e22876. doi: [10.1371/journal.pone.0022876](https://doi.org/10.1371/journal.pone.0022876)
14. Lorenz TC. Polymerase chain reaction: basic protocol plus troubleshooting and optimization strategies. *J Vis Exp* 2012;e3998. doi: [10.3791/3998](https://doi.org/10.3791/3998)
15. Bergmans HE, van Die IM, Hoekstra WP. Transformation in *Escherichia coli*: stages in the process. *J Bacteriol* 1981;146:564-70. doi: [10.1128/jb.146.2.564-570.1981](https://doi.org/10.1128/jb.146.2.564-570.1981)
16. Lefevre J, Hankins C, Pourreux K, Voyer H, Coutlée F. Real-time PCR assays using internal controls for quantitation of HPV-16 and β-globin DNA in cervicovaginal lavages. *J Virol Methods* 2003;114:135-44. doi: [10.1016/j.jviromet.2003.09.003](https://doi.org/10.1016/j.jviromet.2003.09.003)
17. Ho L, Chan SY, Chow V, Chong T, Tay SK, Villa LL, et al. Sequence variants of human papillomavirus type 16 in clinical samples permit verification and extension of epidemiological studies and construction of a phylogenetic tree. *J Clin Microbiol* 1991;29:1765-72. doi: [10.1128/jcm.29.9.1765-1772.1991](https://doi.org/10.1128/jcm.29.9.1765-1772.1991)
18. Yamada T, Manos MM, Peto J, Greer CE, Munoz N, Bosch FX, et al. Human papillomavirus type 16 sequence variation in cervical cancers: a worldwide perspective. *J Virol* 1997;71:2463-72. doi: [10.1128/jvi.71.3.2463-2472.1997](https://doi.org/10.1128/jvi.71.3.2463-2472.1997)
19. Chang L, He X, Yu G, Wu Y. Effectiveness of HPV 16 viral load and the E2/E6 ratio for the prediction of cervical cancer risk among Chinese women. *J Med Virol* 2013;85:646-54. doi: [10.1002/jmv.23490](https://doi.org/10.1002/jmv.23490)
20. Lefevre J, Hankins C, Money D, Rachlis A, Pourreux K, Coutlée F. Human Papillomavirus Type 16 Viral Load Is Higher in Human Immunodeficiency Virus-Seropositive Women with High-Grade Squamous Intraepithelial Lesions Than in Those with Normal Cytology Smears. *J Clin Microbiol* 2004;42:2212-5. doi: [10.1128/JCM.42.5.2212-2215.2004](https://doi.org/10.1128/JCM.42.5.2212-2215.2004)
21. Peitsaro P, Johansson B, Syrjänen S. Integrated Human Papillomavirus Type 16 Is Frequently Found in Cervical Cancer Precursors as Demonstrated by a Novel Quantitative Real-Time PCR Technique. *J Clin Microbiol* 2002;40:886-91. doi: [10.1128/JCM.40.3.886-891.2002](https://doi.org/10.1128/JCM.40.3.886-891.2002)
22. Cricca M, Morselli-Labate AM, Venturoli S, Ambretti S, Gentilomi GA, Gallinella G, et al. Viral DNA load, physical status and E2/E6 ratio as markers to grade HPV16 positive women for high-grade cervical lesions. *Gynecologic Oncology* 2007;106:5.57-49 doi: [10.1016/j.ygyno.2007.05.004](https://doi.org/10.1016/j.ygyno.2007.05.004)
23. Saunier M, Monnier-Benoit S, Mauny F, Dalstein V, Briolat J, Riethmuller D, et al. Analysis of Human Papillomavirus Type 16 (HPV16) DNA Load and Physical State for Identification of HPV16-Infected Women with High-Grade Lesions or Cervical Carcinoma. *J Clin Microbiol* 2008;46:3678-85. doi: [10.1128/JCM.01212-08](https://doi.org/10.1128/JCM.01212-08)
24. Khanal S, Shumway BS, Zahin M, Redman RA, Strickley JD, Trainor PJ, et al. Viral DNA integration and methylation of human papillomavirus type 16 in high-grade oral epithelial dysplasia and head and neck squamous cell carcinoma. *Oncotarget* 2018;9. doi: [10.18633/oncotarget.25754](https://doi.org/10.18633/oncotarget.25754)
25. Meissner JD. Nucleotide sequences and further characterization of human papillomavirus DNA present in the CaSki, SiHa and HeLa cervical carcinoma cell lines. *J Gen Virol* 1999;80:1725-33. doi: [10.1099/0022-1317-80-7-1725](https://doi.org/10.1099/0022-1317-80-7-1725)



Development of a Diagnostic Panel to Measure the Viral Load and the Physical Status of the Human Papilloma Virus16 genome using Multiplex Real-Time PCR Method

Shadi Setayeshi (M.Sc.)¹, Yousef Yahyapour (Ph.D.)², Hossein Ghorbani (M.D.)³, Fahimeh Nokhostin (M.D.)⁴, Meghdad Bagheri (M.Sc.)¹, Farzin Sadeghi (Ph.D.)^{5*}

1- Dept. of Microbiology and Biotechnology, School of Medicine, Babol University of Medical Sciences, Babol, Iran.

2- Infectious Diseases and Tropical Medicine Research Center, Health Research Institute, Babol University of Medical Sciences, Iran.

3- Dept. of Pathology, School of Medicine, Babol University of Medical Sciences, Babol, Iran.

4- Dept. of Obstetrics and Gynecology, School of Medicine, Shahid Sadoughi University of Medical Sciences Yazd, Iran.

5- Cellular and Molecular Biology Research Center, Health Research Institute, Babol University of Medical Sciences, Babol, Iran.

Received: 21 July 2022, Accepted: 5 March 2023

Abstract:

Introduction: Higher viral load in women with chronic Human Papillomavirus type 16 (HPV 16) infection and integration of the viral genome into the cell's chromosomes associates with an increased prevalence of premalignant/malignant lesions in the cervix. The present study describes the development of simultaneous measurement of viral load and physical status for the HPV16 genome by the Multiplex Real-Time PCR method.

Methods: In this study, conserved genes (E^6 and E^2) of HPV16 were extracted from the CaSki cell line and, after PCR amplification, cloned in bacterial plasmid pJET1.2/blunt cloning vector. In addition, recombinant cellular RnaseP gene plasmid was used as an internal amplification control gene.

Results: Based on our findings, the E^2 and E^6 genes of the HPV16 virus and the cellular RnaseP gene are identified with high efficiency. Besides, the results of the Real-time PCR showed a high R^2 coefficient that reflects the linearity of the standard curve. The results of the E^2/E^6 ratio of CaSki cells (E^2/E^6 ratio=0.15) indicated the presence of both integrated and episomal forms in this cell line.

Conclusion: According to the pre-determined acceptance criteria, the diagnostic panel designed to measure the viral load and the physical status of the HPV16 genome using the Multiplex Real-Time PCR method has appropriate sensitivity and specificity.

Keywords: Human papillomavirus 16; Viral load; Real-Time PCR; Molecular cloning.

Conflict of Interest: No

*Corresponding author: F. Sadeghi, Email: sadeghifarzin6@gmail.com

Citation: Setayeshi Sh, Yahyapour Y, Ghorbani H, Nokhostin F, Bagheri M, Sadeghi F. Development of a diagnostic panel to measure the viral load and the physical status of the human papilloma virus16 genome using multiplex real-time PCR method. Journal of Knowledge & Health in Basic Medical Sciences 2023;18(2):9-19.